

## ASTROFİZİKA

UOT524.316

## ULDUZ ATMOSFERLƏRİNİN MODELLƏŞDİRİLMƏSİ

Z.A.SƏMƏDOV  
*Bakı Dövlət Universiteti*  
*Zahir.01@mail.ru*

Ulduz atmosferləri modellərinin hesablanması nəzəri astrofizikanın inkişaf etmiş sahəsidir. Atmosfer modellərinin hesablanması metodikası şərh olunur. Ulduz atmosferlərinin modellərini hesablamaq üçün şüa köçürmə, hidrostatik tarazlıq, şüa tarazlığı tənlikləri birgə həll olunur. Termodynamik tarazlıq halında ionlaşma hallarına görə atomların paylanması Saha düstürü, həyəcanlanma hallarına görə atomların paylanması isə Bolsman düstürü ilə verilir.

Model hesablamalarında örtük effektin, konveksiyanın, kimyəvi tərkibin variasiyasının təsiri məsələləri geniş şərh olunur. Bir çox atmosfer modellri haqqında məlumat verilir.

Kuruçun modelləri əsasında A-F spektral sinifli ulduzların atmosferlərinin tədqiqinin əsas nəticələri şərh olunur.

Açar sözlər: ulduzlar, atmosfer modelləri

## 1.Əsas müddəələr

Ulduzlarda və bütün astronomik obyektlərdə fiziki şəraitin haqqında məlumat, onların müşahidəciyə çatan şüalanmasından alınır. Məlumdur ki, ulduzların şüalanması onların mərkəzində termonüvə reaksiyaları hesabına qamma-kvantlar şəklində yaranır. Bu kvantlar ulduzun daxili qatlarından keçərək ululma, yenidən şüalanma və səpilmə nəticəsində çevrilir və ulduzun səthindən çıxır. Bu zaman aşkar olunur ki, çıxan şüalanmanın tezliklərə görə paylanması əsasən ulduz atmosferi adlanan ulduzun ən yuxarı qatlarında təyin olunur. Odur ki, hələ keçən əsrin başlangıcından nəzəriyyəciler ulduz atmosferində şüalanmanın köçürülməsi və atmosferin quruluşu məsələsinə diqqət yetirir.

İlk vaxtlar belə qəbul olunmuşdur ki, ulduz atmosferi iki qatdan ibarətdir: kəsilməz spektrin yaradığı oblast və spektral xətlərin yaradığı oblast. Əvvəller belə hesab edilmişdir ki, bu oblastlarda fiziki şərait dərinlikdən asılı deyil. Sonralar isə aşkar edilmişdir ki, bu müləhizə həqiqətə tamamilə uyğun deyil və astrofiziklər ulduz atmosferlərinin modellərini hesablamaga başladılar. Hal-hazırda atmosfer modelləri üsulu ulduzların fundamental parametrlərinin təyininin əsas üsuludur. Ulduz atmosferləri şüalanma sahəsində yerləşən maddə - plazmadan (qismən və ya tamamilə ionlaşmış qaz) ibarətdir.

Ulduz atmosferlərinin modellərini hesablamaq üçün aşağıdakı əsas tənliklər birgə həll olunur:

Şüa köçürmə tənliyi

$$\mu \frac{dI_v}{dx} = -\chi_v I_v + \eta_v, \mu = \cos\theta \quad (1)$$

burada  $I_v$  - şüalanma intensivliyidir: vahid səthdən onun normali ilə  $\theta$ -bucağı istiqamətdə vahid zamanda, vahid cisim bucağı daxilində, vahid tezliklə intervalında şüalanın enerjisinin miqdardır. Əgər bu şüalanmanın bütün istiqamətlərdə integrallasaq nəticədə şüalanma səli  $F_v$  alınır.  $\chi_v$  - və  $\eta_v$  - uyğun olaraq vahid həcmə ( $1 \text{ sm}^3$ ) hesablanmış udma və şüalanma əmsalıdır.  $\chi_v$  -əmsalı udma kəsiyi  $\alpha_v$  - ilə sadə ifadə ilə əlaqəlidir:  $\chi_v = \alpha_v N$ , burada  $N$  udan atomların sayıdır. (1) tənliyi göstərir ki,  $dx$  məsafəsini keçərkən intensivliyin dəyişməsi udulan ( $-\chi_v I_v$  həddi) və şüalanın enerjilərin ( $+\eta_v$ ) miqdarı ilə təyin olunur. (1) tənliyinin həlli intensivliyin qiymətini təyin edir:  $I_v(x, \mu)$ . Qeyd edək ki, (1) müstəvi paralel ulduz atmosferləri üçün yazılmışdır, atmosferin sferikliyi nəzərə alınmamışdır. Sferiklik nəzərə alınarsa  $\theta$  bucağı qatdan-qata dəyişir, bu da şüaköçürmə tənliyinin görünüşünü və həllini çətinləşdirir.

Hidrostatik tarazlıq tənliyi ulduzun qatlarının tarazlıqda olduğu faktı göstərir. Atmosferin modelləşdirilməsində adətən atmosferin genişlənməsi və sixılması nəzərə alınmır. Hidrostatik tarazlıq tənliyi

$$\frac{dp_g}{dx} = -gp \quad (2)$$

Bu ifadədə qaz təzyiqi  $p_g$  qratasiya sixılması ilə kompensasiya olunur. Ümumi halda digər qüvvələrin də təsiri ola bilər, tənlikdə əlavə həddlər yazılırlar. Məsələn, yüksək temperaturlarda şüa (ışıq) təzyiqi  $p_r$  əhəmiyyət kəsb edir, (2) tənliyində sağ tərəfdə  $\frac{dp_r}{dx}$  həddi əlavə olunur. (2) tənliyinin həlli verilən  $x$  dərinliyində  $p_g$  təzyiqini təyin edir.

Şüa tarazlığı tənliyi o faktı göstərir ki, kvantlar mühitdə hərəkət edərkən ululurlar, səpilirlər, tezliyini dəyişməklə yenidən şüalanırlar, amma tam (tezliklərə görə integral) enerji sabit qalır. Bu şərt aşağıdakı kimi yazılır:

$$E_{udulma} = E_{şüalanma}; \int d\omega \int_0^\infty I_v(\omega) \chi_v(\omega) dv = \int d\omega \int_0^\infty \chi_v(\omega) dv \quad (3)$$

İnteqralama tezliklərə və bütün istiqamətlərə ( $\omega$ -cisim bucağına) görə aparılır. Əgər ululma və şüalanma izotopdursa, bu tənliyi aşağıdakı kimi yazmaq olar:

$$\int_0^\infty \chi_v dv \int I_v(\omega) d\omega = 4\pi \int_0^\infty \chi_v dv \quad (4)$$

Axırıncı iki ifadə atmosferin verilən qatında temperaturu təyin edir.  $\chi_v$  və  $\eta_v$  kəmiyyətlərinin qiyməti və tezlikdə udan və şüalanın atomların sayı məlum olarsa təyin olunur. Ululma və şüalanma prosesləri uyğun elektron orbitləri arasında kecidlər nəticəsində yaranır.

Sade tam termodinamik tarazlıq halında müəyyən kimyəvi element *el* üçün aşağıdakı ifadələr yazılır.

İonlaşma hallarına görə hissəciklərin paylanması Saxa düsturu ilə verilir:

$$\frac{N_{r+1}}{N_r} P_e = -\frac{2U_{r+1}^{(el)}(2\pi m)^{3/2}}{U_r^{(el)} h^3} (kT)^{5/2} e^{I_r^{(el)}/kT} = 0.333 \left(\frac{2U_{r+1}}{U_r}\right) T^{5/2} e^{-I_r^{(el)}/kT} \quad (5)$$

və ya loqarifmik şəkildə

$$\log \frac{U_{r+1}^{(el)}}{N_r^{(el)}} = -I_r^{(el)} \frac{5040}{T} + \frac{5}{2} \log T - \log P_e - 0.4772 + \log \frac{2U_{r+1}^{(el)}}{U_r^{(el)}} \quad (6)$$

burada  $I_r$  r halindan atomun ionlaşma potensialıdır (elektronvoltlarla, eV). Həyəcanlanma hallarına görə atomların paylanması Bolsman düsturu ilə verilir:

$$\frac{N_{rn}^{(el)}}{N_{rn'}^{(el)}} = \frac{g_{rn}^{(el)}}{g_{rn'}^{(el)}} e^{-\left(\frac{E_{rn}^{(el)} - E_{rn'}^{(el)}}{kT}\right)} \quad (7)$$

və ya loqarifmik şəkildə

$$\log \frac{N_{rn}^{(el)}}{N_{rn'}^{(el)}} = \log \frac{g_{rn}^{(el)}}{g_{rn'}^{(el)}} - \left(E_{rn}^{(el)} - E_{rn'}^{(el)}\right) \frac{5040}{T} \quad (8)$$

Bu düsturlarda  $g_{rn}$ -n səviyyəsinin statistik çəkisidir.  $E_{rn}$ - isə bu səviyyənin həyəcanlaşma enerjisidir (elektronvoltlarla, eV).  $U_r$  kəmiyyəti hallara görə cəmdir, aşağıdakı kimi təyin edilir

$$U_r = \sum_{i=1}^{i=\infty} g_{ri} e^{-\frac{E_{ri}}{kT}} \quad (9)$$

Göründüyü kimi bu kəmiyyət temperaturdan asılıdır.

Hallara görə cəm üçün geniş cədvəllər və approksimasiya tənlilikləri vardır [1-4], ancaq əksər hallarda  $U_r$ -kəmiyyətini əsas səviyyənin statistik çəkisində bərabər qəbul edirlər. (7) tənliliyindən aşağıdakı ifadəni alırıq:

$$\frac{N_{rn}^{(el)}}{N_r} = \frac{g_{rn}}{U_r} e^{-E_{rn}/kT} \quad (10)$$

(5) və (10) ifadələrinin kombinasiyasından

$$N_{rn} = N_{r+1} P_e \frac{g_{rn}}{2U_{r+1}} \frac{h^3}{(2\pi m)^{3/2}} \frac{1}{(kT)^{5/2}} e^{(I_r - E_{rn})/kT} = \\ 1.506 N_{r+1} \frac{P_e}{T^{5/2}} \frac{g_{rn}}{U_{r+1}} e^{(I_r - E_{rn})/kT} \quad (11)$$

Tam termodinamik tarazlıq halında yuxarıda göstərilən tənliliklərdə olan bütün temperaturlar eyni olmalıdır. Həmçinin bütün bu ifadələr mühitin istənilən bütün nöqtələri üçün ödənilməlidir. Tam termodinamik tarazlıq halında bütün proseslər tərs proseslər ilə kompensasiya olunur. Məsələn, bir səviyyədən

diger səviyyəyə keçidlərin sayı tərs keçidlərin sayına bərabərdir. Xüsusi halda ulduz atmosferlərində temperatur dərinlikdən asılıdır. Odur ki, 30-cu illerdə, ulduz atmosferlərində Bolsman-Saxa paylanması, ancaq mühitin verilən nöqtəsinə uyğun temperaturda ödənildiyi mülahizəsi irəli sürülmüşdür. Bu mülahizə lokal termodinamik tarazlıq (LTT) hipotezi adlanır və model və spektrlerin hesablanması xeyli sadələşdirir.

Atmosfer modellərinin hesablanması metodikası ilk baxışda sadədir:

1.Birinci addımda temperaturun dərinlikdən asılı olaraq ilkin dəyişməsini vermək zəruridir. Adətən temperaturun başlangıç paylanması kimi "boz" adlanan paylanması götürürülür:

$$T^4(\tau_{Ros}) = \frac{3}{4} T_{eff}^4 \left( \tau_{Ros} + \frac{2}{3} \right) \quad (12)$$

2.  $P_g$ -nin ilk qiymətini almaq üçün hidrostatik tarazlıq tənliliyi ( $\frac{dp_g}{dx} = -gp$ ) şüa təzyiqinin  $P_r = \frac{a}{3} T^4$  ( $a = 7.568 \cdot 10^{-15} \frac{erg}{sm^3 \cdot K^4}$ ) təqribi qiyməti ilə həll olunur,  $a$  Bolsman sabitidir

3.Müxtəlif atomların enerji səviyyələrinə görə paylanması hesablanılır. Bunun üçün (5-11) ifadələrindən istifadə olunur.

4.  $\chi_v$  əmsalı təyin edilir. LTT halında şüalanma əmsali  $\chi_v$  üçün

$$\frac{\eta_v}{\chi_v} = B_v(T) = \frac{2hv^3}{c^2} \frac{1}{ekT - 1} \quad (13)$$

ifadəsindən istifadə olunur. Burada  $B_v$  Plank funksiyasıdır.

5.Şüa köçürmə tənlili həll edilir və intensivlik  $I_v$  təyin olunur.

6.Hidrostatik tarazlıq ( $\frac{dp_g}{dx} = -gp$ ) tənlili inteqraşdırılır və  $p_g$  təzyiqi təyin edilir.

7.Şüa tarazlığı sərtinin ödənilməsi yoxlanılır.Əgər bu şərt ödənilmirsə  $T(x)$  paylanmasına düzəliş edilir və (2-6) addımları yenidən təkrar olunur.Bu proseslər şüa tarazlığı şərti ödənilə qədər davam etdirilir.

Ulduz atmosferləri modellərinin hesablanması nəzəri astrofizikanın inkişaf etmiş sahəsidir. Ulduz atmosferi modellərinin hesablanmasıının əsas principləri Mixalasın kitabında [ 5 ], hesablama metodikasının bir sıra detalları Kurucun ATLAS [ 6 ] programının təsvirində verilir. Ulduzların kimyəvi tərkibinin təyinində daha çox istifadə olunan modellər Kurucun modelləridir [ 7 ].

## 2.Kuruç modelləri

Kuruçun 1979 ildə çap olunmuş [8] atmosfer modellərinin (KUR79) parametrləri haqqında məlumat aşağıda verilir.

$T_{ef}$	$5500K - 50000K$ , $500K$ addımı ilə
$logg$	$0.0 - 5.0$ , $0.5$ addımı ilə
Kimyəvi tərkib	güneş tərkibli (140 model üçün) $\frac{1}{10}$ güneş tərkibli (72 model üçün) $\frac{1}{100}$ güneş tərkibli (72 model üçün)
$\xi_t$	$2 \frac{km}{san}$

Bu modellərdə OPDF (opasiti distribution funktion) – funksiyasının hesablanmasında 1 mln. xətt nəzərə alınmışdır. OPDF-funksiya cədvəlləri atmosfer modelləri hesablamalarında şuakçöürmə, şüatarazlığı və hidrotarazlıq tənliklərinin həllində bilavasitə istifadə olunur. Hər bir xətt üçün genişlənmə mexanizmləri: şüalanma nəticəsində sönmə, Dopler, Stark və Vander Vals effektleri nəzərə alınmışdır. Kəsilməz udulma mənbələri  $H I - II, He I - III, CI - CIV, NII - NIV, OII - VI, Ne I - VI, MgI, AlII, SiI, HH_2^+, H^-$ , Relye və elektron səpilmələridir. [7]-də atmosfer modelləri, şüalanma selləri,  $UBV$  və  $uvby$ - rəng göstəriciləri bolometrik düzəlişlər, Balmer xətlərinin profilləri verilir.

Qeyd edək ki, ATLAS programı bir neçə dəfə müəllif tərəfindən təkmilləşdirilmişdir. Xüsusi halda ATLAS-12 versiyası yazılmışdır, bu program vasitəsilə  $T_{ef} = (3500 - 50000)K$ ,  $logg = (0 - 5)$  bazis parametri 7000-dən artıq modellər hesablanmışdır. Metalliq parametri  $\left[\frac{M}{H}\right] +1$ -dən -5-ə qədər geniş diapazondadır. Coxlu sayda ( $58 \cdot 10^6$ ) həm atom, həm də molekul xətləri nəzərə alınmışdır.

Sonrakı işlərində Kuruç aşağıdakı səbəblərdən modellərin təkmilləşdirilməsini zəruri hesab edir. [8]-də:

1. Modellər kimyəvi tərkibin müəyyən miqdarı və mikroturbulent hərəkət sürətinin  $\xi_t = 2 \frac{km}{san}$  qiyməti üçün hesablanmışdır. Odur ki, bu modellər ağır elementlərin miqdarı anomal artıq olan (Am-Am ulduzlar) və mikroturbulent hərəkət sürəti  $2 \frac{km}{san}$ -dən fərqli olan ulduzlar üçün birinci yaxınlaşmada istifadə oluna bilər.

2. Tezliklərə görə interval ultrabənövşəyi oblastda  $2.5$  nm, vizual oblastda isə  $5$  nm enə malikdir. Tezliklərə görə belə bölmə müasir müşahidə nəticələri ilə müqayisə etmək üçün həmişə adekvat olmur.

3. Soyuq atmosfer modelləri üçün molekulyar qeyri-şəffaflıq nəzərə alınır.

4. Bütün temperatur modellərində xətlərin nəzərə alınması ilə bağlı sistematiq xətalar vardır. Odur ki, nəzərə alınan xətlərin sayı 1 milyondan əhəmiyyətli qədər çox olmalıdır.

5. Dərinliklərə görə nöqtələrin sayı ( $ND = 40$ ), xüsusilə yuxarı qatlar üçün kifayət qədər deyil.  $ND$ -nin artırılması hesablama dəqiqliyini əhəmiyyətli qədər artırır.

6. Bütün soyuq modellərdə konveksiya kifayət qədər dəqiq olmayan üsullar ilə nəzərə alınır.

7. Lokal termodinamik tarazlıqdan kənaraçıxmanın yaratdığı effektler kifayət qədər tam nəzərə alınır.

Yuxarıda göstərilən problemlər Kuruçun 1993-cü il modellərində [7] (CD ROM disk, KUR93) aradan qaldırılır. Bu modellərdə nailiyyətlər aşağıdakılardır:

1. Axırıcı modellərdə mikroturbulent hərəkət sürətinin  $\xi_t = 0; 1; 2; 3; 4; 8 \frac{km}{san}$  qiymətlərində hesablamalar aparılır.

2. OPDF-funksiyası və uyğun olaraq qeyri-şəffaflıq metallığın aşağıdakı qiymətlərində hesablanır:

$$\left[\frac{M}{H}\right] = [1.0], [+0.5], [+0.3], [+0.2], [+0.1], [0.0], [-0.1], [-0.2], [-0.3], [-0.5], [-1.0], [-1.5], [-2.0], [-2.5], [-3.0], [-4.0], [-4.5], [-5.0]$$

Bu modellər metallığın az olduğu ikinci tip məskunlaşmış, həmçinin metallığın çox olduğu Ap-Am ulduzları tədqiq etməyə imkan verir.

3. Kuruç modellərinin yeni versiyasında OPDF funksiyası iki cədvəldə verilir: "yüksek ayırdetmə" versiyası ultrabənövşəyi oblastda  $10A^\circ$  və görünən oblastda  $20A^\circ$  enli 1212 "kiçik" intervallardan, "kiçik ayırdetmə" versiyası isə  $100A^\circ$  enli 328 "böyük" intervallardan ibarətdir. Bu fuksiyalar dalğa uzunluğunun  $89.7666 A^\circ$ -dən  $100000 A^\circ$ -ə, temperaturun  $2089K$ -dan  $199526K$ -ya (56 qiymət), təzyiqin  $log P = -2$ -dən  $log P = 8$ -ə qədər intervalları (21 qiymət) üçün hesablanmışdır.

4. 1991-ci ilə qədər Kuruça kimyəvi elementlərin 1.7 milliyon atom xətlərinin  $gf$ -kəmiyyətləri məlum idi. Yeni modellərdə isə hesablamalarda 58 milyon xətt nəzərə alınır.

5. F-G spektral sinifli ulduzlar üçün Kuruçun köhnə modellərinin müşahidə ilə müqayisəsi rəng göstəricilərində  $0.^m 05$  qədər xəta verir. Bu isə yerdəyişmə uzunluğu nəzəriyyəsində konveksiyanın korrekt nəzərə alınmaması

ilə bağlı problemdir (yerdəyişmə uzunluğu konvektiv yuvaların sərbəst qaçış yolunun effektiv uzunluğuudur). Yeni modellərdə bu nəzəriyyədə Kuruç bir sırada düzelişlər edərək göstərilən xətanı azaldır.

6.Yeni modellərdə Kuruç 50000 xətt üçün təqribi üsullarla LTT-dən kənarçixarma effektini nəzərə alır.

7.Kuruç dərinliyə görə ND nöqtələrinin sayını 62, bir sırada hallarda isə 72-yə çatdırır. Bu modellər hal-hazırda ən təkmilləşmiş modellərdir. Kuruçun son modellərinin bazis parametrləri geniş diapazondadır:  $T_{eff} = (3000 - 50000)K$  və  $logg = 0 - 5 (\frac{sm}{san^2})$ . 7000-dən artıq modellər hesablanmışdır. Şüalanma səli  $0.09 - 160$  mikrometr intervalında cədvəlləşdirilmişdir. Örtük effekti dəqiq nəzərə alınmışdır ( $58 \cdot 10^6$  sayda, həm atom, həm də molekul xətləri), həmçinin  $T_{eff} \leq 8000K$  model hesablamalarına konveksiya daxil edilmişdir. 50000-dən artıq xətt üçün LTT-dən kənara çıxma effekti nəzərə alınmışdır. Heliumun miqdarı normal qəbul olunur ( $\frac{He}{H} = 0.11$ ). Metalliq parametri  $\left[\frac{M}{H}\right] +1$ -dən -5-ə qədər geniş diapazonda dəyişdirilir.

Kuruçun işlərində modellər ilə yanaşı, həmçinin müşahidə ölçmələri ilə müqayisə etmək üçün bir sıra kəmiyyətlərin hesablanmış qiymətləri, məsələn, hidrogenin Balmer seriyasının  $H_\alpha - H_\delta$  xətlərinin profilləri və ekvivalent enləri,  $UBV$  və  $uvby$  fotometrik sistemlərində rəng göstəriciləri,  $229\text{\AA} - 20mkm$  dalğa uzunluğu diapazonunda şüalanma səli  $F_\lambda$ -nın paylanması verilir.

### 3. Model hesablamalarında örtük effektin rolü

ÖE-yə daha çox töhfə verən xətlər çoxluğu, ulduzun spektral tipindən, daha doğrusu onun effektiv temperaturundan  $T_{eff}$  kəskin asılıdır. O və ilkin B ulduzlar daha çox ultrabənövşəyi oblastda şüalandırır, bu ulduzlarda ultrabənövşəyi oblastda spektral xətlər daha önemli rol oynayır. Ötkün B və A spektral sinifli ulduzlarda hidrogenin Balmer seriyasının xətləri daha intensivdir, bu ulduzlarda ÖE-yə əhəmiyyətli töhfəni Balmer seriyasının xətləri verir. A spektral sinifindən başlayaraq çoxlu sayıda metal xətləri, xüsusilə Ti-dən Ni qədər dəmir pik elementlərin təsiri üstün olur. Nəhayət  $T_{eff} \leq 5000K$  temperaturlu daha soyuq ulduzlarda müxtəlif molekulların zolaqlarında udulmalar daha əhəmiyyətli olur.

ÖE daha müfəssəl Kuruçun [7] modellərində nəzərə alınmışdır, bu modellərdə  $10^6$  atom xətlərinin atmosferin strukturuna təsiri hesablanmışdır.

ÖE nəzərə alınması atmosferdə əlavə qeyri-şəffaflıq mənbəyinin meydana gəlməsinə gətirir. Verilən dərinlikdə xətlərdə udulan enerji hissəsi aşağıda yerləşmiş atmosfer qatlarından əks olunur, nəticədə bu qatlarda şüalanma enerjisinin sıxlığı və temperaturu artır. Əks olunan şüalanmanın hesabına temperaturun artması şəkil 1-də göstərilir.  $T_{eff} = 6000K, logg = 4.0$  parametrlı

modeldə  $0.01 < \tau_{5000} \leq 1$  dərinlikdə ÖE nəzərə alınırsa temperatur müqayisədə  $200K$  yuxarı olur.

Mixalasın [9,10] hesablamaları da  $T_{eff} = 7500 \div 11000K$  ( $logg = 4.0$ ) modellərində  $\tau_{5000} \sim 1$  dərinlikdə, ancaq Balmer xətləri hesabına temperatur  $200K$  yuxarı olur.  $T_{eff} = 2000K$  temperaturunda ÖE hesablamalarda nəzərə alınırsa temperatur bir neçə yüksək K yuxarı olur [11].

Soyuq ulduzlarda ÖE temperaturun paylanmasından  $T(\tau)$  əhəmiyyətli dəyişikliklərə gətirir. Belə ulduzlarda metal xətlərində udulma ilə yanaşı molekulyar zolaqlarda udulmalar da nəzərə alınır.  $T_{eff} = 3400K, logg = 0.0$  parametrlə modellərdə örtük effekti nəzərə alındıqda  $\tau_{5000} = 1$  dərinlikdə temperatur  $750K$  yüksək olur, bununla yanaşı  $\tau_{5000} < 10$  dərinlikdə temperaturun əhəmiyyətli dərəcədə aşağı düşməsi aşkar edilir. Qeyd edək ki, soyuq ulduzlarda müxtəlif molekullar atmosferin strukturuna müxtəlif təsir göstərir. CO molekullarının xətləri K və M spektral sinifli ulduzların yuxarı qatlarını soyudur, TiO xətlərinin nəzərə alınması isə əksinə bu qatların qızmasına gətirir (Quastafsson və Olander [12]).

ÖE atmosferin strukturuna təsiri əsasən kəsilməz spektr və spektral xətlərin yarandığı qatlarda temperatur və udma əmsalının dəyişməsinə gətirir. Bununla yanaşı atmosfer modellərində qaz  $P_g$  və elektron təzyiqlər  $P_e$  paylanması bir qədər dəyişir. Bu dəyişikliklər kontinumda şüalanma səlinin  $F_\lambda$ , spektral xətlərin ekvivalent enlərinin hesablanmasında özünü göstərir.

### 4. Model hesablamalarında konveksiyanın nəzərə alınması

Atmosfer modellərinin ilkin hesablamalarında belə qəbul olunur ki, atmosferdə enerji köçürülməsi yalnız şüalanma üsulu ilədir, bu zaman şüatarazlığı şərti ödənilir. Bu isə göstərir ki, tam şüalanma səli  $H_r$  bütün dərinliklərdə eynidir və

$$H_r = \pi \int_0^\infty F_\lambda d\lambda = \sigma_R T_{eff}^4 \quad (17)$$

bərabərdir, burada  $\pi F_\lambda - \lambda$  dalğa uzunlığında şüalanma səli,  $\sigma_R$  – Stefan sabitidir. Aşkar edilmişdir ki, ötkün spektral sinifli ulduzların atmosferləri müəyyən  $\tau$  dərinlikdən konvektiv qeyri-dayanıqlı olur. Bu dərinliklərdə enerjinin əhəmiyyətli hissəsi konveksiya üsulu ilə köçürülr. (17) düsturu əvəzinə

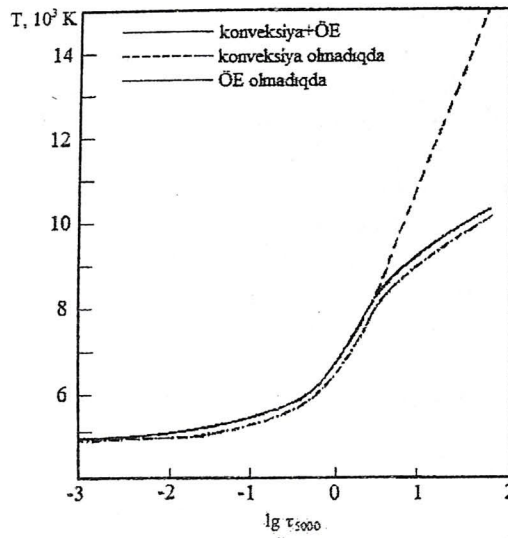
$$H_r(\tau) + H_c(\tau) = \sigma_R T_{eff}^4 \quad (18)$$

düsturundan istifadə olunur, burada  $H_c$  – konvektiv seldir. Konveksiyanın atmosferin strukturuna təsiri onun tam şüalanma enerjisində payı, yəni  $H_c / (H_r + H_c)$  kəmiyyəti ilə təyin olunur.

[23] hesablamaları göstərir ki,  $T_{eff} = 8500K$  tempətarulu baş ardıcılıq ulduzlarında konvektiv zona olmur,  $T_{eff} = 8000K$  temperaturda isə konvektiv zona meydana çıxır. Beləliklə, konveksiyanın nəzərə alınması ancaq,  $T_{eff} \leq 8500K$  temperaturlu atmosfer modelləri üçün zəruridır. Konvektiv zonanın

qalınlığı  $T_{eff}$ -in azalması ilə sürətlə artır, ancaq yuxarı sərhədlərin vəziyyəti, demək olar ki, dəyişmir.

$\tau_{5000} = 2 \div 3$  dərinliklərdə ( $\tau_{5000}$ -kəsilməz spektrdə  $\lambda = 5000A^\circ$  dalğa uzunluğunda optik dərinlikdir) konvektiv və qeyri-konvektiv atmosfer model-lərində temperaturun paylanmasından  $T(\tau_{5000})$  fərqlilik yaranır. Nümunə olaraq şəkillidə  $T_{eff} = 6000K, log g = 4.0$  parametrlı atmosfer modelində konveksiyanın temperaturun paylanmasından  $T(\tau_{5000})$  təsiri göstərir. Burada,  $\tau_{5000} = 3$  dərinlikdən başlayaraq konvektiv model üçün  $T(\tau_{5000})$  əyrisi (büttöv xətt) qeyri-konvektiv model üçün  $T(\tau_{5000})$  əyrisindən (qırıq-qırıq xətt) əhəmiyyətli qədər aşağıdır, məsələn,  $T(\tau_{5000}) = 10$  dərinlikdə fərq artıq 1600K-dir.



Şək.1. Atmosfer modellərində konveksiya və ÖE-nin temperatur paylanmasına təsiri ( $T_{eff} = 6000$  K,  $log g = 4.0$ , [13]).

[13] hesablamalarına görə  $T_{eff} = 8000 \div 6000K$  temperaturlarda konveksiyanın nəzərə alınması spektrin görünən və infraqırmızı oblastlarında  $F_\lambda$  şüalanma selinin əhəmiyyətli dəyişməsinə gətirmir; yalnız ultrabənövşəyi oblastda ( $\lambda \leq 2000A^\circ$ ) ~10% fərq yaranır.

[14-15] hesablamalarına görə  $T_{eff} = 3000K, log g = 5.0$  parametrlı modeldə konveksiya nəzərə alınırsa  $\tau > 1$  dərinlikdə əhəmiyyətli qədər azalır,  $\tau < 0.1$  dərinlikdə isə tərsinə, 10% ətrafında artır.

Bələliklə, qırmızı cırdan ulduzların atmosferində konveksiya ulduzdan çıxan şüalanmanın spektrinin yarandığı qatlarda enerjinin əhəmiyyətli hissəsini köçürür. [15] hesablamalarına görə spektrin görünüm və infraqırmızı oblastında enerjinin paylanması konveksiyanın nəzərə alınmasından güclü asılıdır.

Nəhəng və ifratnəhəng ulduzlarda konveksiyanın təsiri azalır. [13-17] hesablamaları göstərir ki,  $T_{eff} \leq 5000K$  temperaturlu nəhəng və ifratnəhəng ulduzlarda  $H_c$  əhəmiyyəti kəsilməz və xətti spektrin yarandığı oblastlarda olduqca kiçikdir, konveksiyanı nəzərə almamaq olar. Ancaq aşkar edilmişdir ki, bu kimyəvi tərkib Günəşin kimyəvi tərkibinə yaxın olduqda doğrudur. [16] hesablamalarına görə metallığın iki tərtib azaldılması  $H_c(\tau)$ -ni əhəmiyyətli qədər artırır və kəsilməz spektrin yarandığı oblastlarda konveksiya yaranır. Beləliklə, metalların miqdarı az olduğu II tip məskunlaşmış ötkün nəhəng və ifratnəhəng ulduzlarda konveksiyanın nəzərə alınması vacibdir.

## 5.Verilmiş modellərdə kimyəvi tərkibin variasiyası

Əksər ulduzların atmosferlərində  $He/H=0.1$ -dir, ancaq bir sıra ulduzlarda bu nisbətin "normal" qiymətdən əhəmiyyətli qədər fərqləndiyi aşkar edilmişdir. Klinqlsmit [18] hesablamaları göstərir ki,  $He/H$  nisbətinin 0-dan 15-ə qədər dəyişməsi  $\tau=1$  optik dərinlikdə  $T_{eff} = 1000K, log g = 4.0$  parametrlı modeldə temperaturun 60K,  $T_{eff} = 20000K, log g = 4.0$  parametrlı modeldə isə temperaturun 870K artmasına gətirir. Bələliklə, bu effektin B-ulduz atmosferində  $T(\tau)$  paylanmasına təsiri  $T_{eff}$  artdıqda artır.  $P_g(\tau)$  qaz və  $P_e(\tau)$  elektron təzyiqlərində nəzərə alınacaq qədər dəyişmir.

$He/H$  nisbətinin bir neçə dəfə dəyişməsi isti ulduzların atmosfer strukturlarına qeyd olunacaq qədər təsir etmir [18-19]. Bu ulduzlarda kəsilməz spektrdə enerjinin paylanması demək olar ki, dəyişmir. Həqiqətən də Mixalasın [9] hesablamalarına görə O ulduzlarda  $T_{eff} = 32000 \div 40000K$  temperatur oblastında  $He/H = 0.05$  nisbətini  $He/H = 0.3$  nisbəti ilə əvəz etsək görünən oblastda sel  $F_\lambda$  praktik olaraq dəyişmir, yalnız ultrabənövşəyi oblastda fərqlənmə olur.

Soyuq ulduzların atmosfer strukturlarına  $He/H$  nisbətinin təsiri Verse [20] içlərində təqdim olunur,  $T_{eff} = 3000K, log g = 0.0$  parametrlı modeldə kimyəvi tərkibin variasiyasının təsiri öyrənilmişdir. Aşkar edilmişdir ki,  $He/H$  nisbətinin 10 dəfə artırılması  $\tau \geq 10$  dərinlikdə  $T(\tau)$  temperaturu  $T \leq 200K$ ,  $P_g(\tau)$  qaz təzyiqini isə yuxarı qatlarda 3 dəfə artırır.

[7] Kuruçun hesablamalarına görə  $T_{eff} = 8000K, log g = 4.0$  parametrlı modeldə [M/N]-i O-dan 2-yə qədər azalsaq  $\tau = 0.1$  dərinlikdə  $T(\tau)$  qiyməti 150K azalır,  $\tau = 0.001$  dərinlikdə isə 200K artır. Metalların miqdarının artması isə əksinə nisbətən dərin qatlarda qızmasına və səth qatlarının soyumasına gətirir. Svami [21-22] hesablamaları göstərir ki, G – spektral sinifli cırdan və nəhəng ulduzlar üçün ( $T_{eff} = 4000 \div 6000K$ )  $T(\tau), P_g(\tau)$  və  $P_e(\tau)$  paylanmasına [M/N] qiymətinin seçilməsinin təsiri  $T_{eff}$  kiçildikcə azalır. Bu effekt cırdan ulduzlarda nəhəng ulduzlar ilə miqayisədə çoxdur.

Qustafson və b. [16] hesablamalarına görə  $T_{eff} = 5500 \div 5000K$  parametrlı modellərdə metalların miqdarını [M/N] – 2-dən 0 qədər artırıqda (C,N və O-da daxil olmaqla) C0 və CN xəttlərində udulma hesabına  $\tau = 0.00025$

dərinlikdə temperatur 100-150K artır.  $T_{eff}$ -in daha kiçik qiymətlərində molekulların təsiri daha dərin qatlarda əhəmiyyətli qədər olur. Bu halda atmosferin strukturunu əsasən C/O və N/O nisbi midarlarından asılı olur. Məsələn, əgər C/O=0.55 və N/O =0.14 Gündə olan miqdardan əvəzinə C/O=1.3 və N/O=0.7 qəbul etsək  $T_{eff} = 3800K$ ,  $logg = 1.0$  və  $T_{eff} = 3400K$ ,  $logg = 1.0$  parametrlə modellərdə kəsilməz spektrin yaradığı oblastda temperatur 500K və 750K artır [23]). Soyuq ifrat nəhəng ulduzlarda ( $T_{eff} < 4000K$  temperaturun paylanması T( $\tau$ ) C/O dan kəskin asılı olmasını Kersi [24] və Cudzi [25] təsdiqləyir.

## 6.Kuruç modelləri əsasında

### A-F spektral sinifli ulduzların atmosferlərinin tədqiqinin əsas nəticələri

Bizim tərafımızdən program A-F spektral sinifli ulduzların atmosferləri tədqiq edilmişdir[26-41]. Ulduzların fundamental parametrləri və kimyevi tərkibi ən dəqiq üstünlük ilə təyin edilmişdir. Bu üsul müasirdir, mükəmməldir, bu üsul ilə hesablamalar təsdiqini tapmış dəqiqliq beynəlxalq proqramlar vasitəsilə aparılır.

Model üsulu ulduz atmosferi modellərinin tətbiqinə əsaslanır.Qeyd edildiyi kimi hal-hazırda ən mükəmməl modellər Kuruçun modelləridir [7]. Bu modellər bir çox nüfuzlu xarici rəsədxanalarda istifadə olunur.

Model üsulu ilə ulduzların effektiv temperatur və ağırlıq qüvvəsinin təciliyi təyin etmək üçün aşağıdakı kriteriyalardan istifadə edilir [38].

1).Kəsilməz spektrdə enerjinin nisbi paylanmasıñ müşahidə və nəzəri qiymətlərinin müqayisəsi. Bu üsul monoxromatik işıqlanma  $E_\lambda$ -nin geniş dalga uzunluğu  $\lambda$  intervalında ölçüləsine əsaslanır.Spektrdə enerjinin nisbi paylanmasıñ müşahidədən ölçülən ( $\frac{E_\lambda}{E_{\lambda_0}}$ ) və modellərdən hesablanan ( $\frac{F_\lambda}{F_{\lambda_0}}$ ) qiymətləri müqayisə olunur.  $T_{ef}$  -ə müxtəlif qiymətlər verilir, spektrdə enerjinin nəzəri nisbi paylanması ilə müşahidə nisbi paylanması üst-üstə düşən hala uyğun effektiv temperatur götürülür. Bir sıra hallarda işıqlanmanın müşahidə qiymətlərinin Balmer sərhəddinə qədər və sonra nisbəti ( $\frac{E_{4625}}{E_{3625}}$ ), nəzəri hesablanmış sellərin nisbəti ( $\frac{F_{4625}}{F_{3625}}$ ) ilə müqayisəsi olunur. Müqayisə əsasında

$$\frac{F_{4625}}{F_{3625}} = \frac{E_{4625}}{E_{3625}}$$

bərabərliyini ödəyən bir sıra bazis parametrlə ( $T_{ef}$ ,  $logg$ ) modellər seçilir.

2).Spektrdə enerjinin paylanmasıñ digər xarakteristikaları kimi  $UBV$  və  $uvby$  fotometrik sistemlərdə rəng göstərinin müşahidədən ölçülüş və nəzəri hesablanmış qiymətləri müqayisə edilir. Əsasən  $UBV$  sistemində  $Q$ ,  $uvby$  sistemində isə [ $c_1$ ] indekslərdən istifadə olunur.Bu indekslərdən istifadə etmək ona görə əhəmiyyətlidir ki, onlar ulduzlararası fəzada udulmanın təsirində azaddırlar.

Geniş kataloqlar mövcuddur, bu kataloqlardan  $[c_1] = c_1 - 0.2(b - y)$  və  $Q = (U - B) - 0.72(B - V)$  indeksləri təyin edilir. Sonralar  $uvby$  sisteminə  $\beta$  kəmiyyəti əlavə olunmuşdur. Bu kəmiyyət  $H_\beta$ xəttinin intensivliyini ölçür.

3).Spektral xarakteristika kimi, əsasən hidrogenin Balmer seriyasının  $H_\alpha$ ,  $H_\beta$ ,  $H_\gamma$ ,  $H_\delta$  xətlərinin profillərinin və ya ekvivalent enlərinin müşahidədən ölçülüş və nəzəri hesablanan qiymətləri müqayisə olunur.Qeyd edək ki, eksər parlaq ifratnəhəng ulduzlarda  $H_\alpha$ ,  $H_\beta$  profili asimetrikdir və hətta emisiya müşahidə olunur.Belə ulduzlar üçün yalnız  $H_\gamma$ ,  $H_\delta$  xətlərindən istifadə olunur.

Aşkar edilmişdir ki, baxılan ulduzlar üçün təyin etdiyimiz  $T_{eff}$ ,  $logg$  parametrləri bu ulduzların spektral və işıqlıq siniflərinə uyğundur. Ancaq, HR8718(F5II) ulduzu üçün təyin etdiyimiz  $logg = 4.0$  olması göstərir ki, bu ulduz ulduz kataloqlarında göstərildiyi kimi II işıqlıq sinfinə deyil IV-V işıqlıq sinfinə aiddir.Ulduz kataloqlarında dəyişiklik edilməli, HR8718(F5II) ulduzu IV-V işıqlıq sinfinə aid edilməlidir.

Müxtəlif işıqlıq sinifli (I-VI) ulduzlar üçün effektiv temperatur-spektral sinif diaqramı qurulmuş,ulduzların temperatur şkalası dəqiqləşdirilmişdir.

Model üsulu ilə mikroturbulent hərəkət sürətinin təyini hər hansı elementin neytral atom və ya ionunun spektral xətlərinin geniş diapozonda ekvivalent enlərinin tədqiqinə əsaslanır. Mikroturbulent hərəkət sürətinin  $\xi_t$  bir neçə qiymətində baxılan elementin spektral xətlərinin ekvivalent enləri  $W_\lambda$  hesablanır, müşahidədən ölçülən ekvivalent enlərlə müqayisə olunur. Hər bir spektral xəttə əsasən mikroturbulent hərəkət sürətinin  $\xi_t$  müxtəlif qiymətlərində elementin miqdari  $lg\varepsilon$  hesablanır, elementin miqdarnın  $lg\varepsilon$  onun spektral xətlərinin ekvivalent enlərindən  $W_\lambda$  asılı olmadığı qrafikə uyğun  $\xi_t$  tədqiq olunan ulduzun atmosferində mikroturbulent hərəkət sürətini təyin edir.

Aşkar edilmişdir ki, ulduzların atmosferlərində mikroturbulent hərəkət sürəti  $\xi_t$  ağırlıq qüvvəsi təciliyindən  $logg$ -dən asılıdır:  $logg$  artıqda  $\xi_t$  azalır. Atmosferi sıx olan ulduzlarda mikroturbulent hərəkət sürəti azdır.

Ulduzların kimyevi tərkibi ulduzların spektrlərində spektral xətlərin ekvivalent enlərinin  $W_\lambda$  analizi əsasında təyin olunur. Elementin miqdarına  $lg\varepsilon$  müxtəlif qiymətlər verilir, bu elementə məxsus spektral xətlərin ekvivalent enləri hesablanır, müşahidədən ölçülən ekvivalent enlərlə müqayisə olunur, nəzəri və müşahidə ekvivalent enləri üst-üstə düşdüyü hala uyğun  $lg\varepsilon$  təyin olunur.

Aşkar edilmişdir ki, Qalaktika müstəvisində yerləşmiş ulduzlarda metalliq Günəşdəki kimidir.Bu isə onu göstərir ki, bu ulduzlar və Günəş eyni tərkibli maddədən yaranmışlar.Qeyd edək ki, Günəş II nəsil ulduzdur,yəni - bir dəfə ulduz mərhələsi keşmiş maddədən yaranmışdır.Beləliklə Qalaktika müstəvisində yerləşmiş ulduzlar II nəsil ulduzlardır.

Aşkar edilmişdir ki, A, F spektral sinifli ifrat nəhəng, nəhəng ulduzların atmosferlərində karbon elementinin miqdarı Günəşdə olan miqdardan azdır, natrium elementinin miqdarı isə çoxdur [27, 32, 40, 41]. Bununla da ulduzların

müasir təkamül nəzəriyyəsinin mülahizələrinin doğruluğu müşahidələr əsasında təsdiqlənmişdir.

Aşkar edilmişdir ki, Qalaktika müstəvisindən uzaqda müşahidə olunan yüksək enlikli F- ifratnəhəng ulduzlarda metalliq Günəşdə olan miqdardan azdır [27, 41]. Belə mülahizə irəli sürürlür ki, bu ulduzlar nəhənglərin asimtotik qolundan çıxma mərhələsində olan ulduzlardır (post AGB), bu ulduzların atmosferlərində metalların miqdarı əvvəlcə normal (Günəş tərkibli) olmuşdur, sonra isə bu ulduzların örtüklerində toz mühitinin yaranması nəticəsində dəmir qrup elementlərin atomlarının müəyyən hissəsi toz hissəciklərinin formallaşmasına sərf olunmuşdur. Beləliklə, Qalaktika müstəvisindən uzaqda müşahidə olunan yüksək enlikli F- ifratnəhəng ulduzlar Qalaktika müstəvisində yaranan cavan ulduzlar qrupu olub, sonralar Qalaktika müstəvisini tərk edərək uzaqlaşmışlar.

### ƏDƏBİYYAT

1. Fischel D., Sparks W., *Aph.J.*, 1970, v.164, p.359.
2. de Jager C., Neven L., *Bull.Astron.Inst.Netherlands Suppl.* 1960, v.15, p.55.
3. McBride B., Heimel S., Ehlers J., GordobS., 1963, NASA SP -3001.
4. Milone L., Merlo D., *Astron.Aph.Suppl.*, 1998, v. 192, p.820.
5. Mihalas D. *Звездные атмосферы*, 1982
6. Kurucz R.L., 1970, *Smithsonian Astrophys. Obs.Spec.Report.* N.309.-p.1.
7. Kurucz L.S., CD-ROM 13, *ATLAS9 Stellar Atmosphere Programs and 2km/s grid*. Cambridge, Mass.;*Smithsonian Astrophys.Obs.*, 1993.
8. Kurucz L.S., *Aph.J.Suppl.*, 1979, v.40, p.1.
9. Mihalas D., *Ap.J.Suppl.* 1965 v.9, p.321
10. Mixalas D., *Ap.J.Suppl.* 1966. v.13, p.1
11. Любимков Л.С., Астрофизика, 1975, т.11.с.703
12. Gustafsson B., Olander N., *Phys.Scripta*, 1979, v.20, p.570
13. Carbon D.F. Gingerich O. Theory and Observation of Normal Stellar Atmospheres (ed.O.Gingerich) Cambridge: MIT Press.1969, p.377
14. Auman Y.R., 1969, *Ap.J.* v.157, p.799
15. Kunnen T., Публ. Тартуской обс. 1973, E.41 – с.63
16. Gustafsson B. Bell R.A., Eriksson K., Nordlund A. *Astron. Astrophys.* 1975, v.42, p.407
17. Alexander D.B. Yhonson H.R., *Ap.J.* 1972, v.176, p.629
18. Klinglesmith D.A. *Hydrogen Line Blanketed Model Stellar Atmospheres*.-Washington: NASA SP-3065. 1971, 261 p.
19. Van Cutters G.W., Morton D.C., *Ap.J.*-1970, v.163, p.695.
20. Wehrse R., *Mon.Not.Roy.Astron.Soc.* 1981, v.195, p.553
21. Swamy K.S., *Astron.Astrophys.* 1969, v.1, p.297
22. Swamy K.S., *Astron.Astrophys.* 1970, v.8, p.375
23. Carbon D.F., *Ann.Rev.Astron.Astrophys.* 1979, v.17, p.513.
24. Quersi F., Quersi M., *Astron.Astrophys.* 1975, v.39, p.113.
25. Tsuji T., *Publ.Astron.Soc.Japan.* 1976, v.28, p.543.
26. Ajabshirizadeh A.A., Muradov A. *Atrophysics and Space Science*, 2004, v.293, p.289-294.
27. Xalilov A.M., Samedov Z.A., Gasanova A.P. *Астрономический журнал*, 2008, т.85, №10, с.940-945.
28. Səmədov Z.A., Bakı Universitetinin xəbərləri, 2010, №2, s.182-187.
29. Кули-заде Д.М, Самедов З.А, Таиров М.М. Bakı Universitetinin Xəbərləri, 2013, N4, s.201-205.
30. Səmədov Z.A., Qədirova Ü.R., Əliyeva N.S. *Azərbaycan Astronomiya Jurnalı*, 2014, c. 9, №4, s.9-12.

31. Kuli-zade D.M., Samedov Z.A., Gadirova U.R. *International Journal of Current Research*, 2015, v.7, issue 03, p.13286-13291.
32. Samedov Z.A., Qadirova U.R. *Journal of Qafqaz University*, 2015, v. 3, №1, p.29-33.
33. Samedov Z.A., Qadirova U.R. Samedov N.H. *Journal of Qafqaz University*, 2015, v. 3, №2, p.138-143.
34. Samedov Z.A., Gadirova U.R., Amirov Sh.Sh. *Modern Trends in Physics*, 2017, p.38-40
35. Самедов З.А., Гадирова У. Р. *GESJ: Physics* 2017, №2, p.19-24
36. Samedov Z.A. *International Journal of Development Research*. 2018, v. 08, p. 21398-21400.
37. Samedov Z. A. *Astronomy & Astrophysics (Caucasus)*, 2018, N3, p.91-96
38. Səmədov Z.A. *Bakı Dövlət Universitetinin Xəbərləri*, 2017, s.156-164.
39. Səmədov Z.A. *Bakı Dövlət Universitetinin Xəbərləri*, 2018, s.149-153.
40. Səmədov Z.A., Xəlilov Ə.M., Həsənova Ə.R., Qədirova Ü.R., Hacıyeva G.M. *Azərbaycan Milli elmlər Akademiyasının xəbərləri, Fizika-texnika və riyaziyyat elmləri seriyası, fizika və astronomiya* 2018, №5, s. 23-28
41. Samedov Z.A. *The 6th International Conference on Control and Optimization with Industrial Applications*, 2018, p.130-133.

### МОДЕЛИРОВАНИЕ АТМОСФЕРЫ ЗВЕЗД

#### З.А.САМЕДОВ

#### РЕЗЮМЕ

Расчет моделей звездных атмосфер является достаточно довольно исследованной, областью теоретической астрофизики. Интерпретируется метод расчета атмосферных моделей. Для расчета моделей звездных атмосфер решаются совместно уравнения переноса излучения, гидростатического равновесия и лучистого равновесия. При ЛТР распределение атомов по состояниям ионизации даются формулой Саха, распределение атомов по состояниям возбуждения даются формулой Больцмана. В модельных расчетах широко интерпретируется влияния покровного эффекта и конвекции, вариации химического состава. Предоставляется информация о многих атмосферных моделях.

**Ключевые слова:** звезды, атмосферные модели

### MODELING OF THE STELLAR ATMOSPHERE

#### Z.A.SAMEDOV

#### SUMMARY

The stellar atmosphere modeling is one of the modern advanced research field of theoretical astrophysics. The method of stellar atmosphere modelling have been described. It was shown that the radiation transfer and hydrostatic, radiation equilibrium equations are necessary to be solved for the modeling of stellar atmospheres. In the case of thermodynamic equilibrium distribution of atoms by ionisation and excitation states could be determined by Saha and Boltzmann formula correspondingly. The influence of the blanketing effect, convection and chemical composition variations in model calculations are widely discussed. The information related to another stellar atmosphere models are given.

**Key words:** stars, stellar atmosphere modeling

*Redaksiyaya daxil oldu: 12.04.2018-ci il*

*Çapa imzalandı: 28.06.2018-ci il*